

# 肝细胞癌中 XIAP mRNA 及蛋白表达的意义

陶璐薇, 林菊生, 陈孝平, 周鹤俊, 蔡晓坤, 李 超

陶璐薇, 林菊生, 周鹤俊, 蔡晓坤, 李超, 华中科技大学同济医学院附属  
同济医院肝病研究所

陈孝平, 华中科技大学同济医学院附属同济医院肝外科中心  
湖北省武汉市 430030

陶璐薇, 女, 1978-12-02 生, 广西桂林市人, 汉族, 2002 年华中科技大学同  
济医学院硕士生, 主要从事肝胆疾病的研究.

项目负责人: 林菊生, 430030, 湖北省武汉市解放大道 1095 号, 华中科技大  
学同济医学院附属同济医院肝病研究所. linjusheng2001@163.net

电话: 027-83663595

收稿日期: 2004-09-07 接受日期: 2004-09-19

## Expression of XIAP mRNA and protein in human hepatocellular carcinoma

Lu-Wei Tao, Ju-Sheng Lin, Xiao-Ping Chen, He-Jun Zhou,  
Xiao-Kun Cai, Chao Li

Lu-wei Tao, Ju-Sheng Lin, He-Jun Zhou, Xiao-Kun Cai, Chao Li,  
Institute of Liver Diseases, Tongji Hospital, Tongji Medical College,  
Huazhong University of Science and Technology, Wuhan 430030, Hubei  
Province, China

Xiao-Ping Chen, Hepatic Surgery Center, Tongji Hospital, Tongji Medi-  
cal College, Huazhong University of Science and Technology, Wuhan  
430030, Hubei Province, China

Correspondence to: Dr. Ju-Sheng Lin, Institute of Liver Diseases, Tongji  
hospital, Tongji medical college of Huazhong University of Science and  
Technology, Wuhan, 430030, Hubei province, China. linjusheng2001@  
163.net

Received: 2004-09-07 Accepted: 2004-09-19

## Abstract

AIM: To study the expression of XIAP mRNA and protein in tissues of hepatocellular carcinoma (HCC), and to investigate the role of XIAP in the development of primary HCC.

METHODS: The expression of XIAP mRNA in normal liver cell line L-02, hepatoma cell lines, SMMC7721 and HepG2, and tissues of primary HCC ( $n = 30$ ) as well as the corresponding adjacent tissues of HCC was detected by semi-quantitative reverse-transcription polymerase chain reaction (RT-PCR). The expression of XIAP protein was observed in preceding cell lines and tissues by immunohistochemical staining.

RESULTS: The expression level of XIAP mRNA in L-02 was lower than that in SMMC7721 and HepG2 (mean XIAP/ $\beta$ -actin:  $0.418 \pm 0.045$  vs  $0.719 \pm 0.069$ ,  $P < 0.05$ ;  $0.418 \pm 0.045$  vs  $0.654 \pm 0.055$ ,  $P < 0.05$  respectively). No significant difference existed in the XIAP mRNA expression between SMMC7721 and HepG2 cells. The expression of XIAP protein was significantly different among three cell lines ( $0.158 \pm 0.016$  vs  $0.291 \pm 0.022$  vs  $0.238 \pm 0.011$ ,  $P < 0.05$ ). The expression of XIAP mRNA and protein in HCC tissues was higher than those in the corresponding cancer-adjacent tissues (mRNA:  $0.587 \pm 0.064$  vs  $0.313 \pm 0.059$ ,  $P < 0.05$ ; protein:  $0.276 \pm 0.054$  vs  $0.095 \pm 0.014$ ,  $P < 0.05$ ). XIAP protein was mainly distributed in cytoplasm.

CONCLUSION: Overexpression of XIAP mRNA and protein may play an important role in the carcinogenesis of primary HCC.

Tao LW, Lin JS, Chen XP, Zhou HJ, Cai XK, Li C. Expression of XIAP mRNA and protein in human hepatocellular carcinoma. Shijie Huaren Xiaohua Zazhi 2004;12(12):2788-2791

## 摘要

目的: 通过检测 XIAP mRNA 及蛋白在肝细胞癌中的表达程度, 探讨 XIAP 在原发性肝细胞癌发生中的作用.

方法: 应用 RT-PCR 技术检测正常肝细胞株 L-02, 肝癌细胞株 SMMC7721, HepG2 和 30 例肝癌及其相应癌旁组织中 XIAP mRNA 的水平, 同时应用免疫组织化学方法检测了上述细胞株及组织中 XIAP 蛋白的表达.

结果: 三株细胞株均有 XIAP mRNA 的表达, XIAP/ $\beta$ -actin 均值分别为 L-02:  $0.418 \pm 0.045$ , SMMC7721:  $0.719 \pm 0.069$ , HepG2:  $0.654 \pm 0.055$ . 其中 L-02 细胞株的 XIAP mRNA 水平显著低于 SMMC7721 及 HepG2 ( $P < 0.05$ ), 两株肝癌细胞株的 XIAP mRNA 表达无显著性差异 ( $P > 0.05$ ). 三株细胞亦均有 XIAP 蛋白的表达, 其细胞爬片平均光度分别为  $0.158 \pm 0.016$ ,  $0.291 \pm 0.022$ ,  $0.238 \pm 0.011$ , 三株细胞的 XIAP 蛋白水平存在显著性差异 ( $P < 0.05$ ). 肝癌组织 XIAP mRNA 表达较癌旁组织显著升高, XIAP/ $\beta$ -actin 均值分别为:  $0.587 \pm 0.064$ ,  $0.313 \pm 0.059$  ( $P < 0.05$ ). 免疫组化染色显示: XIAP 蛋白表达主要集中在肝细胞胞质中, 其在肝癌组织中的表达显著高于癌旁组织, 平均光度分别为:  $0.276 \pm 0.054$ ,  $0.095 \pm 0.014$  ( $P < 0.05$ ).

结论 XIAP mRNA 及其蛋白在肝癌组织及肝癌细胞系中表达水平明显升高, 提示他可能是促进肝细胞恶变的一个重要因素.

陶璐薇, 林菊生, 陈孝平, 周鹤俊, 蔡晓坤, 李超. 肝细胞癌中 XIAP mRNA 及蛋白表达的意义. 世界华人消化杂志 2004;12(12):2788-2791

<http://www.wjgnet.com/1009-3079/12/2788.asp>

## 0 引言

肿瘤的发生是一个多因素多基因多步骤的过程, 而促凋亡和抗凋亡因素间的失衡是其中的一个重要事件. 半胱氨酸天冬氨酸蛋白酶(caspase), 又被称死亡蛋白酶, 是凋亡过程的执行者. 多种凋亡相关蛋白, 如 Bcl-2, Fas 等均通过调控凋亡级联反应的上游间接调控 caspase 的活性, 从而调节细胞的凋亡过程. X 染色体连锁的凋

亡抑制蛋白(X-linked inhibitor of apoptosis protein, XIAP)是凋亡抑制蛋白(inhibitor of apoptosis protein, IAP)家族的新成员, 是一新发现的强烈的凋亡抑制蛋白, 可以通过抑制 caspase-3, caspase-7 及 caspase-9 阻断凋亡过程. 我们以  $\beta$ -actin mRNA 为内参, 采用 RT-PCR 技术及免疫组织化学 SP 方法检测正常肝细胞株 L-02, 肝癌细胞株 SMMC7721, HepG2 和肝癌及癌旁组织中 XIAP mRNA 和蛋白水平, 从而探讨 XIAP 与肝细胞恶变的关系.

## 1 材料和方法

**1.1 材料** 正常肝细胞株 L-02, 人肝癌细胞株 SMMC7721, HepG2 均由同济医院肝病研究所传代培养, 为贴壁生长细胞. 所有肝癌组织及癌旁组织标本均由同济医院肝脏外科中心手术切除(2003-04/2003-08), 并经病理证实. 逆转录试剂, 包括 MMLV 及 Oligo dT 购自 Promega 公司; PCR 扩增试剂, 包括 Taq 酶、dNTP 购自北京天为时代公司; Trizol 购自上海华舜生物工程公司; 鼠抗人 XIAP mAb 购自 BD Bioscience Pharmingen 公司; 免疫组织化学 sp 试剂盒及 DAB 试剂盒购自北京中山生物技术公司; 目的基因 XIAP 和内参  $\beta$ -actin 引物使用引物设计软件 primer 2.0 设计, 扩增片断分别为 335 bp 和 159 bp, 两对引物均由上海生物工程研究所合成 XIAP 上游引物序列: 5' -tcagcagttggaagacacag-3';  $\beta$ -actin 下游引物序列 5' -agtcacgacactgttaactc-3';  $\beta$ -actin 上游引物序列: 5' -tggcaccacaccttctacaa-3';  $\beta$ -actin 下游引物序列 5' -agcctggatagcaacgtaca-3'.

**1.2 方法** 所有细胞均用含 100 mL/L 胎牛血清(FBS)和 100 kU/L 青霉素及链霉素的 DMEM(dulbeccos modified engle medium)培养基, 在 37 °C 5 mL/L CO<sub>2</sub> 条件下培养. 按 Trizol 说明书中步骤提取细胞总 RNA, 以紫外分光光度仪测定 RNA 浓度及纯度, 其余于 -75 °C 中冻存, 近期使用. 组织每次约剪取 50 mg, 用预冷的 PBS 漂洗干净后, 冰上充分匀浆, 其余提取过程同细胞总 RNA. 逆转录反应取 RNA 1  $\mu$ g, 5  $\times$  RT Buffer 4  $\mu$ L, 10 mmol/L dNTP 1  $\mu$ L, 50 mU/L RNasin 0.5  $\mu$ L, 0.5 g/L Oligo dT 1  $\mu$ L, 200 MU/L MMLV 1  $\mu$ L, DEPC 水定容至 20  $\mu$ L, 充分混匀, 42 °C 反应 60 min, 94 °C 灭活 5 min. 阴性对照为不加 RNA 的反应体系. 取上述反应产物 cDNA 2  $\mu$ L, 10 mmol/L dNTP 2  $\mu$ L, 10  $\times$  Buffer 2.5  $\mu$ L, 25 mmol/L MgCl<sub>2</sub> 2  $\mu$ L, 12.5 pmol/L XIAP 及  $\beta$ -actin 引物 1  $\mu$ L, 去离子水定容至 24.5  $\mu$ L, 充分混匀后 94 °C 热启动 5 min, 加入 2.5 mU/L Taq 酶 0.5  $\mu$ L. 扩增条件: 94 °C 热变性 1 min, 52 °C 退火 1 min, 72 °C 延伸 45 s, 30 个循环, 72 °C 补偿 5 min, 同时扩增 XIAP 及  $\beta$ -actin. 空白对照为不加入 cDNA 模板的反应体系. 取 PCR 反应产物 3  $\mu$ L, 与 6  $\times$  PCR 上样缓冲液 0.5  $\mu$ L 混合后, 于 20 g/L 琼脂糖凝胶(含 0.5 mg/L 溴化乙锭)中电泳, 75 V, 40 min, 于紫外光灯下观察结果, 以 UVP 凝胶分析系

统拍照并分析结果.

免疫组化石蜡切片常规脱蜡至水, 滴加 30 mL/L H<sub>2</sub>O<sub>2</sub> 甲醇孵育 30 min, 置 0.01 mol/L 枸橼酸钠缓冲液中加热 92 °C 以上, 15 min 抗原修复, PBS 振洗后加正常羊血清封闭 30 min, 滴加一抗(1:300)4 °C 孵育过夜. 次日室温复温 1 h, 加生物素化二抗孵育 30 min, 辣根过氧化物酶标记链霉卵白素孵育 30 min, PBS 洗后 DAB 显色, 中性树胶封片. 细胞爬片将预先处理的载玻片置于六孔板中, 再将对数生长期细胞以  $5 \times 10^5$  每孔接种于六孔板中. 待细胞贴壁后, 以 40 g/L 多聚甲醛固定 30 min, 后续步骤除无需抗原修复外同石蜡切片.

**统计学处理** 试验数据以算术平均值及标准差(mean  $\pm$  SD)表示, 率的显著性差异分析采用 SPSS10.0 软件.

## 2 结果

**2.1 正常肝细胞株及肝癌细胞株中 XIAP mRNA 及蛋白的表达** 正常肝细胞株 L-02 XIAP/ $\beta$ -actin 为  $0.418 \pm 0.045$ , SMMC7721:  $0.719 \pm 0.069$ , HepG2:  $0.654 \pm 0.055$ . 其中 L-02 XIAP mRNA 的表达水平较 SMMC7721 和 HepG2 低( $P < 0.05$ ,  $t$  检验), 但在两肝癌细胞株 XIAP mRNA 水平无明显差异( $P > 0.05$ ,  $t$  检验, 图 1A). 细胞爬片免疫组化显示三株细胞中均有 XIAP 蛋白的表达, 其阳性产物呈棕黄色, 主要分布于胞质中. 图像分析示免疫组化细胞爬片平均光度 L-02 为  $0.158 \pm 0.016$ , SMMC7721:  $0.291 \pm 0.022$ , HepG2:  $0.238 \pm 0.011$ . 三者的平均光度经统计学分析均有显著性差异( $P < 0.05$ ,  $t$  检验), 以 SMMC7721 表达水平最高, L-02 最低. (图 2A-C).

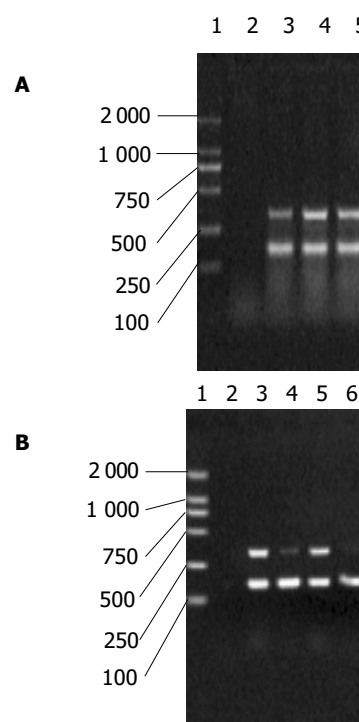


图1 XIAP mRNA 在肝癌中的表达. A: 1: marker; 2: 不加 cDNA 的 PCR 反应体系; 3: L-02 正常肝细胞株; 4: SMMC7721 肝癌细胞株; 5: HepG2 肝癌细胞株; B: 1: marker; 2: 不加 cDNA 的反应体系; 3: 肝癌组织 1; 4: 相应癌旁组织 1; 5: 肝癌组织 2; 相应癌旁组织 2.

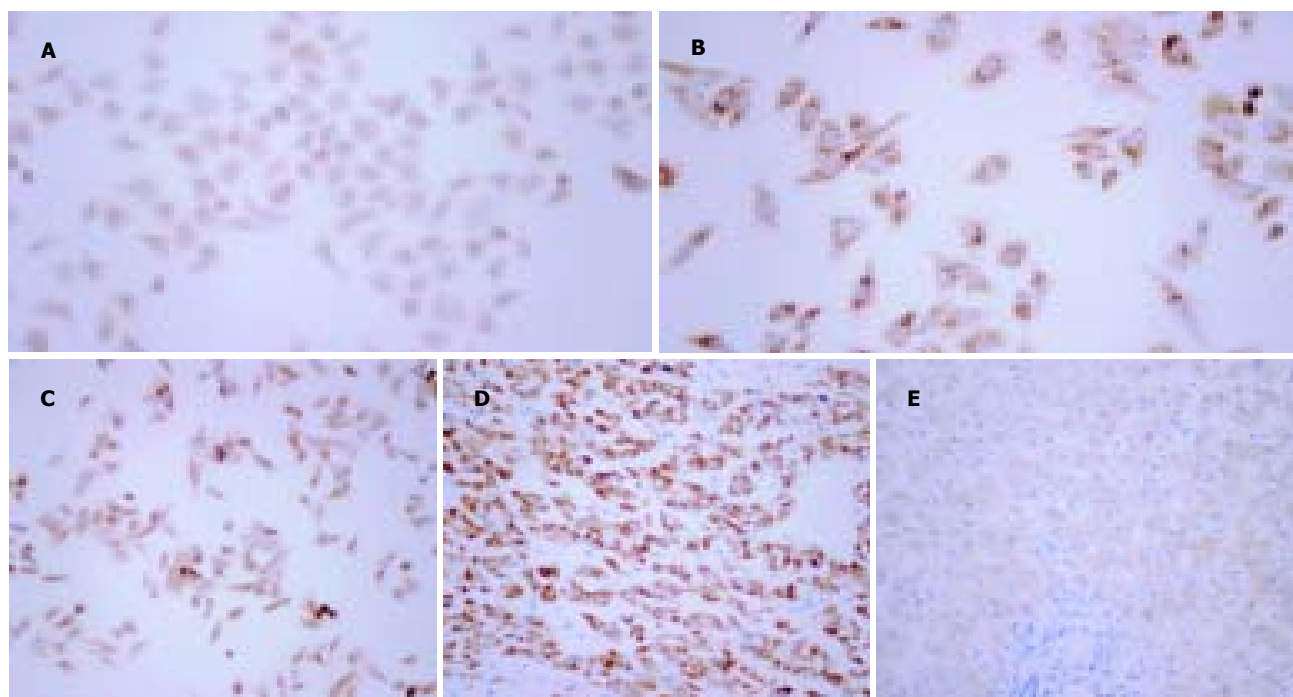


图2 XIAP蛋白在肝癌中的表达 SP×400. A: L-02 细胞中 XIAP 蛋白表达; B: SMMC7721 细胞中 XIAP 蛋白表达; C: HepG2 细胞中 XIAP 蛋白表达; D: 肝癌组织中 XIAP 蛋白表达; E: 癌旁组织中 XIAP 蛋白表达.

2.2 肝癌组织及癌旁组织中XIAP mRNA及蛋白的表达  
肝癌组织 XIAP/ $\beta$ -actin 为  $0.587 \pm 0.064$ , 癌旁组织为  $0.313 \pm 0.059$ , 二者间有显著的统计学差异( $P < 0.05$ ,  $t$  test, 图 1B). 免疫组化阳性染色为棕黄色颗粒, 主要集中于胞质中. 肝癌组织切片免疫组化染色平均光度为  $0.276 \pm 0.054$ , 癌旁组织为  $0.095 \pm 0.014$ . 两组均值间有统计学差异( $P < 0.05$ ,  $t$  test, 图 2D-E).

### 3 讨论

caspase是细胞凋亡过程的最终执行者. 死亡相关受体分子(Fas等)及多种应激因子(如紫外线照射等)分别通过不同途径激活 caspase-8 或 caspase-9, 诱发一系列级联链锁反应, 激活下游的 caspase-7 及 caspase-3, 最终导致细胞正常结构的崩解和细胞凋亡. IAP 家族是近年新发现的具有强烈凋亡抑制作用的蛋白质家族, 其结构的共同特点是名为杆状病毒IAP重复序列(baculoviral inhibitory repeat, BIR)的结构域. 在现发现的 IAP 家族的成员, 如 survivin、Livin、ILP-2 中均存在 BIR 结构域, 并能通过 BIR 与相应的 caspase 的结合达到抑制 caspase 活性从而抑制凋亡的作用<sup>[1-6]</sup>. XIAP 的主要结构包括3个BIR结构域, 一个功能不明的两性分子结构区, 羧基端一个富含半胱氨酸的锌指结构以及以上结构间的连接区域(linker). 通过竞争性结合及非竞争性机制, XIAP 的BIR结构域及linker区域能够分别抑制caspase-3, caspase-7 及 caspase-9, 从而起到抑制细胞凋亡, 促进细胞生存的作用<sup>[7-15]</sup>. 此外, XIAP 还能通过激活丝裂原激活蛋白激酶(MAPK)家族的另一个成员 C-JUN N 末端激酶 1(JNK1), 从而抑制由 TNF $\alpha$  及 ICE1 即 caspase1 介导的细胞凋亡<sup>[16-22]</sup>. 现有研究表明, 当细胞处于不利

条件, 如缺氧、缺乏血清时, XIAP表达升高, 同时XIAP在多种肿瘤中均有异常表达<sup>[23]</sup>. 故许多学者均认为: XIAP 基因的异常表达可能是肿瘤细胞失去正常凋亡调控并能在不良条件中生存的重要条件. Ingo *et al* 人检测了包括血液、中枢神经、肾脏、肺等多个系统的 60 个肿瘤细胞系, 发现 XIAP 在所有的细胞系中均有普遍表达<sup>[24]</sup>. Ramp *et al* 运用免疫组化检测了145例肾脏透明细胞癌标本, 发现其中 95% 的肿瘤组织表达 XIAP, 其中低分化肿瘤的 XIAP 表达远高于高分化肿瘤, 而晚期肿瘤则明显高于早期肿瘤<sup>[25]</sup>. Amantana *et al* 对顺铂耐药的前列腺癌细胞株 DU145 的研究发现, XIAP 的高表达及其对 caspase-3 的抑制作用是 DU145 对顺铂耐药的原因之一. 他们同时证实, 使用 XIAP 的反义核酸治疗能明显增强顺铂的疗效, 减弱细胞耐药性<sup>[26]</sup>.

本研究结果显示 XIAP mRNA 及蛋白在三株细胞中均有表达. 其中, 在正常肝细胞株 L-02 中的表达量较肝癌细胞株 SMMC7721 及 HepG2 中为低, 而两株肝癌细胞株的 XIAP mRNA 及蛋白的表达水平没有显著性差异. XIAP 的普遍表达可能与细胞株建株时为达到永生化的反复筛选, 从而使得 XIAP 高表达而具有强抗凋亡能力的细胞得以存活有关. 值得关注的是, 在 mRNA 水平, 肝癌细胞株 SMMC7721 及 HepG2 的 XIAP 表达相近, 而在蛋白水平 SMMC7721 则高于 HepG2, 其机制可能与 XIAP mRNA 5' 端的核糖体进入序列(internal ribosome entry site, IRES)的活性及细胞内的泛素化水平相关. IRES 能帮助细胞在不利条件下翻译出 XIAP, 而 XIAP 的降解则是由泛素化过程介导的<sup>[27-29]</sup>. 因此, 可能由于 SMMC7721 和 HepG2 在肿瘤起源、细胞特性上存在诸多差异, 导致其胞内 IRES 活性及泛素化水平的不一

致,从而导致了 XIAP 蛋白水平的变化. 研究同时发现在癌旁组织中即存在 XIAP 的表达,在肝癌组织中 XIAP 及蛋白则明显升高. 其机制可能为在良性基础肝病,如肝炎、肝硬化的基础上,肝脏细胞发生修复性增生,抗凋亡机制作用增强, XIAP 相应表达上调. 而其中少数 XIAP 表达明显上调的细胞克隆具有极强抗凋亡能力,失去了正常的凋亡调控并在多种不利条件下存活下来而发展为恶性肿瘤. 总之,本研究表明 XIAP 可能通过细胞的凋亡调控参与了肝细胞癌的发生和发展,他的过表达与肝细胞癌发生发展相关. 这为肝癌的发生预测和早期诊断寻求新的指标,为肝癌的预防和治疗提供新的靶点.

#### 4 参考文献

- Bettina WMR, Samy SM, Lisa JE, Jeffifer L, Stephanie BR, Annalisa F, Lan T, Stephan F, Richard JY, David LN, Luigi DN, Paolo V, Howard OF, Colin SD. Molecular cloning of ILP-2, a novel member of the inhibitor of apoptosis protein family. *Molecular Cellular Biol* 2001;21:4292-4301
- Gary MK, Bruce CG. Livin, a novel inhibitor of apoptosis protein family member. *J Biol Chemistry* 2001;276:3238-3246
- Li YH, Wang C, Meng K, Chen LB, Zhou XJ. Influence of survivin and caspase-3 on cell apoptosis and prognosis in gastric carcinoma. *World J Gastroenterol* 2004;10:1984-1988
- Qiao JG, Zhang YQ, Yin YC, Tan Z. Expression of Survivin in pancreatic cancer and its correlation to expression of Bcl-2. *World J Gastroenterol* 2004;10:2759-2761
- 贾克东, 石淑仙, 阮幼冰. 肝硬化和肝癌肝组织 Survivin 基因表达与增生的关系. *世界华人消化杂志* 2004;12:550-554
- 金玉, 林连捷, 郑长青. 大肠癌组织中 Survivin 和 Cox-2 表达的相关性. *世界华人消化杂志* 2004;12:1218-1220
- Deveraux QL, Roy N, Stennicke HR, Van AT, Zhou Q, Srinivasula SM, Alnemri ES, Salvesen GS, Reed JC. IAPs block apoptotic events induced by caspase-8 and cytochrome c by direct inhibition of distinct caspases. *EMBO J* 1998;17:2215-2223
- Yasuyuki S, Yui N, Kazuko N, John CR, Ryosuke T. X-linked Inhibitor of apoptosis protein(XIAP) inhibits caspase-3 and-7 in distinct modes. *J Biol Chem* 2001;276:27058-27063
- Shiozaki EN, Chai J, Rigotti DJ, Riedl SJ, Li P, Srinivasula SM, Alnemri ES, Fairman R, Shi Y. Mechanism of XIAP-mediated inhibition of caspase-9. *Mol Cell* 2003;11:519-527
- John S, Paul GE, Catherine LD, Christinge JH, Manuel B, Joanne C, Miha P, Anne MV, David LW. Direct inhibition of caspase 3 is dispensable for the anti-apoptotic activity of XIAP. *EMBO J* 2001;20:3114-3123
- Rakesh D, Eiji O, Kazuyuz E, Verena B, Jian R, Donald K. XIAP regulates DNA damage-induced apoptosis downstream of caspase-9 cleavage. *J Biol Chem* 2000;275:31733-31738
- Huang Y, Park YC, Rich RL, Segal D, Myszk DG, Wu H. Structural basis of caspase inhibition by XIAP: differential roles of the linker versus the BIR domain. *Cell* 2001;104:781-790
- Huang Y, Park YC, Rich RL, Segal D, Myszk DG, Wu H. Structural basis of caspase inhibition by XIAP: differential roles of the linker versus the BIR domain. *Cell* 2001;104:781-790
- Chao Hong S, Mengli C, Robert PM. NMR structure and mutagenesis of the third Bir domain of the inhibitor of apoptosis protein XIAP. *J Biol Chem* 2000;275:33777-33781
- Hawkins CJ, Silke J, Verhagen AM, Foster R, Ekert PG, Ashley DM. Analysis of candidate antagonists of IAP-mediated caspase inhibition using yeast reconstituted with the mammalian Apaf-1-activated apoptosis mechanism. *Apoptosis* 2001;6:331-338
- German S, Jean da SC, Odile D, Jongdae L, Ken N, Nicolas S, Quinn LD, Richard JU. IAP suppression of apoptosis involves distinct mechanisms: the TAK1/JNK1 signaling cascade and caspase inhibition. *Molecular Cellular Biol* 2002;22:1754-1766
- Bodo L, Kyle JG, Nicola F, Kerstin K, Jerzy-Roch N, Hideo AB, Elaine WR, Gunter B. XIAP induces cell-cycle arrest and activates Nuclear Factor- $\kappa$ B. *Circulation Research* 2001;88:282-290
- Kyoko Y, Shin-ichi N, Jun NT, Michiru N, Katsuyuki T, Kenji I, Naoto U, Eisuke N, Hiroshi S, Kunihiro M. XIAP, a cellular member of the inhibitor of apoptosis protein family, links the receptors to TAB1-TAK1 in the BMP signaling pathway. *EMBO J* 1999;18:179-187
- Renate HW, Johannes AS, Christian S, Bernd RB, Joachim L, Rainer d M. Activation of NF- $\kappa$ B by XIAP, the X chromosome-linked inhibitor of apoptosis, in endothelial cells involves TAK1. *J Biol Chem* 2000;275:22064-22068
- Stephanie BR, Jens UW, Wurthner WTP, Anita BR, Colin SD. X-linked inhibitor of apoptosis protein functions as a cofactor in transforming growth factor- $\alpha$  signaling. *J Biol Chem* 2001;276:26542-26549
- Chao WX, Kristian A, Benjamin KT. Nuclear Factor- $\kappa$ B-mediated X-linked inhibitor of apoptosis protein expression prevents rat granulose cells from Tumor Necrosis Factor  $\alpha$ -induced apoptosis. *Endocrinology* 2001;142:557-563
- Germana S, Colin SD, Bettina WMR, Craig BT, Richard JU. Selective activation of JNK1 is necessary for the anti-apoptotic activity of hILP. *Biochemistry* 1998;95:6015-6020
- Lu QP, Cao TJ, Zhang ZY, Liu W. Multiple gene differential expression patterns in human ischemic liver: Safe limit of warm ischemic time. *World J Gastroenterol* 2004;10:2130-2133
- Ingo T, Steven MK, Harry S. Expression and prognostic significance of IAP-family genes in Human cancers and myeloid leukemias. *Clinical Cancer Research* 2000;6:1796-1803
- Ramp U, Krieg T, Caliskan E, Mahotka C, Ebert T, Willers R, Gabbert HE, Gerharz CD. XIAP expression is an independent prognostic marker in clear-cell renal carcinomas. *Hum Pathol* 2004;35:1022-1028
- Amantana A, London CA, Iversen PL. X-linked inhibitor of apoptosis protein inhibition induces apoptosis and enhances chemotherapy sensitivity in human prostate cancer cell. *Mol Cancer Ther* 2004;3:699-707
- Martin H, Lefebvre C, Yeh C. A new internal-ribosome-entry-site motif potentiates XIAP-mediated cytoprotection. *Nat Cell Biol* 1999;1:190-192
- Yang Y, Fang S, Jensen JP, Weissman AM, Ashwell JD. Ubiquitin protein ligase activity of IAPs and their degradation in proteasomes in response to apoptotic stimuli. *Science* 2000;288:874-877
- Yasuyuki S, Yui N, Ryosuke T. Ubiquitin-protein ligase activity of X-linked inhibitor of apoptosis protein promotes proteasomal degradation of caspase-3 and enhances its anti-apoptotic effect in Fas-induced cell death. *Proc Natl Acad Sci* 2001;98:8662-8667